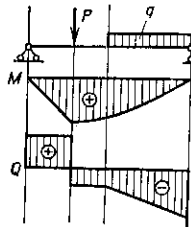


чения касательные напряжения принимаются одинаковыми и определяются ф-лой Журавского: $\tau = Qs/Ib$, где Q — поперечная сила в сечении, S — статич. момент относительно нейтральной оси той части сечения, к-рая лежит выше (или ниже) рассматриваемой точки,

от растяжения силой P и от И. моментом $M = P\rho$, где P — нагрузка на крюк, ρ — радиус кривизны оси бруса в области сечения $m-n$. Для произвольной точки сечения $m-n$ нормальные напряжения определяются ф-лой:

$$\sigma = \frac{P}{F} + \frac{M}{S} \frac{y}{r-y},$$

Рис. 3. Эпюры M и Q для балки, нагруженной одним сосредоточенным грузом P и равномерно распределенной нагрузкой интенсивностью q .



b — ширина сечения на уровне этой точки. Наибольшие τ имеют место у нейтральной оси бруса.

При И. ось бруса искривляется, её кривизна определяется выражением $1/\rho = M/EI$, где ρ — радиус кривизны изогнутой оси в рассматриваемом сечении, E — модуль продольной упругости материала (модуль Юнга). Ордината v изогнутой оси наз. прогибом в данной точке. При малых прогибах первоначально прямых брусьев зависимость между прогибом и изгибающим моментом выражается ур-ием: $d^2v/dx^2 = M/EI$, интегрированием к-рого находят выражение для изогнутой оси бруса $v = f(x)$.

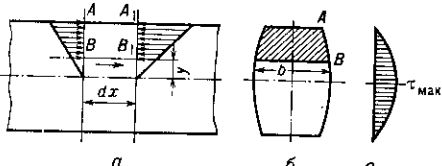


Рис. 4. Касательные напряжения при поперечном изгибе бруса: а — элемент ABB_1A_1 , вырезаемый из бруса при исследовании касательных напряжений; б — сечение бруса; в — эпюра касательных напряжений.

Косой И. сводится к сочетанию двух плоских И., к-рые получаются разложением внешних сил (или изгибающих моментов) на составляющие по гл. осям инерции сечения. Нормальные напряжения обеих плоских И. складываются алгебраически и для произвольной точки сечения выражаются ф-лой:

$$\sigma = \frac{M_x}{I_x} y + \frac{M_y}{I_y} x,$$

где M_x, M_y — изгибающие моменты в сечении относительно гл. осей x и y ; I_x, I_y — моменты инерции сечения относительно гл. осей x, y — координаты той точки поперечного сечения, в к-рой определяется напряжение.

В кривых брусьях большой кривизны, у к-рых отношение радиуса кривизны ρ к высоте сечения h меньше 4—6, наличие кривизны резко сказывается на распределении напряжений. При чистом И. такого бруса нейтральная ось смещается от геометрической оси к центру кривизны бруса, нормальные напряжения распределяются по высоте сечения по гиперболич. закону (рис. 5, а) и резко возрастают по мере приближения к внутреннему краю бруса. Напр., для крюка подъемного приспособления наибольшие напряжения возникают в сечении $m-n$ (рис. 5, б) и складываются из двух частей:

а, нормальные напряжения распределяются по высоте сечения по гиперболич. закону (рис. 5, а) и резко возрастают по мере приближения к внутреннему краю бруса. Напр., для крюка подъемного приспособления наибольшие напряжения возникают в сечении $m-n$ (рис. 5, б) и складываются из двух частей:

где F — площадь поперечного сечения, S — статич. момент этой площади относительно нейтральной линии, y — расстояние от рассматриваемой точки до нейтральной оси, r — радиус кривизны пейтрального слоя, зависящий от формы и размеров поперечного сечения и кривизны бруса.

И. бруса с учётом пластич. деформаций можно исследовать приближённо, принимая, что материал одинаково работает на растяжение и сжатие, и беря наиболее простую зависимость между напряжениями и деформациями, напр. в виде ломаной линии, состоящей из наклонного участка при упругой и горизонтального — при пластич. деформации (рис. 6). При постепенном возрастании нагрузки в сечении с наибольшим изгибающим моментом спачала возникают упругие деформации, затем в крайних точках сечения появляются пластич. области (рис. 7), к-рые, постепенно увеличи-

Сечение с наибольшим изгиб. моментом



Рис. 6. Зависимость между напряжением σ и деформацией ϵ при упругопластическом изгибе бруса.

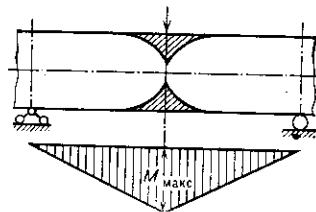


Рис. 7. Возникновение пластического шарнира в сечении с наибольшим изгибающим моментом.

ваяясь, полностью охватывают обе половины сечения. Такое состояние наз. пластическим шарниром; ему соответствует предельный изгибающий момент, по которому определяют предельную нагрузку на брус.

При точном исследовании И. с учётом пластич. деформаций пользуются более сложными методами, изучая весь процесс деформирования бруса, его разгрузку и повторное нагружение. Исследование усложняется при необходимости учитывать влияние на И. времени, высоких темп-р, а также специфич. свойств материала, напр. в случае брусьев, выполняемых из пластмасс, следует учитывать реологич. эффекты (см. Реология).

Лит.: Беляев Н. М., Сопротивление материалов, 15 изд., М., 1976; Тимошенко С. П., Гудьбер Д. Дж., Теория упругости, пер. с англ., М., 1975; Терегулов И. Г., Сопротивление материалов и основы теории упругости, М., 1984.

ИЗГИБНОЕ ИЗЛУЧЕНИЕ (магнитодрейфовое излучение), возникает при движении заряж. частиц вдоль искривлённых силовых линий магн. поля. Конечно, заряж. частица не может двигаться точно вдоль магн. силовой линии, т. к. в этом случае Лоренца сила, действующая со стороны магн. поля на частицу, обращается в нуль. В действительности у частицы наряду со скоростью вдоль магн. поля $v_{||}$ появляется дрейфовый компонент скорости v_{\perp} , ортогональный плоскости, касательной к силовой линии магн. поля:

$$v_{\perp} = \frac{v_{||}^2}{\omega_B R_m} \left(\frac{\mathcal{E}}{mc^2} \right)^2,$$

где $\omega_B = qB/mc$ — циклотронная частота, B — напряжённость магн. поля, R_m — радиус кривизны магн. силовых линий, c — скорость света в вакууме, \mathcal{E} ,